

В. М. Ефимов, А. Л. Резник, С. Т. Васьюк

(Новосибирск)

О ДИСПЕРСИИ ОШИБКИ ВОССТАНОВЛЕНИЯ СИГНАЛА  
ПРИ ДОПОЛНИТЕЛЬНОМ ИСПОЛЬЗОВАНИИ  
ОТСЧЕТОВ ЕГО ПРОИЗВОДНЫХ\*

Получены соотношения для дисперсии ошибки восстановления сигнала с неограниченным по частоте спектром по значениям его отсчетов и отсчетов его производных при помощи интерполяционной формулы, предназначенной для сигнала с ограниченным по частоте спектром. Показано, что при одинаковом числе отсчетов в единицу времени более предпочтительна реконструкция сигнала с использованием обычной теоремы отсчетов, т. е. только отсчетов сигнала. Из данных расчетов следует, что при оптимизации восстановления сигнала уменьшение дисперсии ошибки реконструкции сигнала несущественно.

**Введение.** В работе [1] получена обобщенная теорема отсчетов для реконструкции сигнала по последовательности значений сигнала и его производных  $\{f^{(0)}(n(m+1)\Delta)\}, \{f^{(1)}(n(m+1)\Delta)\}, \dots, \{f^{(m)}(n(m+1)\Delta)\}$  в равноотстоящие моменты времени:

$$f^{(0)}(t) = \sum_{-\infty}^{\infty} \left\{ \frac{\sin \frac{\pi}{(m+1)\Delta} (t - n(m+1)\Delta)}{\frac{\pi}{(m+1)\Delta} (t - n(m+1)\Delta)} \right\}^{m+1} \times$$

$$\times \sum_{k=0}^m \frac{f^{(k)}(n(m+1)\Delta)}{k!} (t - n(m+1)\Delta)^k P_{mk}(t - n(m+1)\Delta), \quad (1)$$

где

$$P_{mk}(x) = \sum_{l=0}^{m-k} \frac{x^l}{l!} \frac{d^l}{dt^l} \left\{ \frac{\pi}{(m+1)\Delta} t \operatorname{cosec} \frac{\pi}{(m+1)\Delta} t \right\}^{m+1} \Bigg|_{t=0}. \quad (2)$$

При этом показано, что сигнал  $f^{(0)}(t)$  восстанавливается без ошибок, если граничная частота его спектра  $|\omega| \leq \pi/\Delta$ .

\* Работа выполнена при поддержке Российского фонда фундаментальных исследований (грант № 03-01-00913) и Президиума РАН (программа № 2.13/2004).

Далее исследуется дисперсия ошибки восстановления сигнала, реконструкция которого осуществляется в соответствии с соотношением (1), для трех случаев: по значениям сигнала ( $m=0$ ); по значениям сигнала и его производной ( $m=1$ ); по значениям сигнала, его первой и второй производных ( $m=2$ ).

Вывод теоремы отсчетов в [1] базируется помимо всего прочего на операции дифференцирования соотношений из [2] и последующем предельном переходе. В предлагаемой работе используется несколько иной подход для получения конечных результатов. Он основывается на замене переменных с использованием соответствующих конечных разностей и последующем предельном переходе при сближении отсчетов сигнала. Этот способ в конечном итоге оказывается эквивалентным использованному в [1], но позволяет получить промежуточные результаты, которые могут быть полезными.

**Дисперсия ошибки.** При неограниченной по частоте спектральной плотности сигнала  $S_f(\omega)$  очевидно соотношение для дисперсии ошибки восстановления по формуле (1):

$$\begin{aligned} \langle \varepsilon^2 \rangle &= \int_{-\infty}^{\infty} d\omega S_f(\omega) \left| \exp -i\omega t - \sum_{k=0}^m (-i\omega)^k \times \right. \\ &\times \left. \sum_{n=-\infty}^{\infty} \exp -i\omega n(m+1)\Delta w_{m(k)}^*(t - n(m+1)\Delta) \right|^2. \end{aligned} \quad (3)$$

В этом соотношении отсчетная функция

$$\begin{aligned} w_{m(k)}^*(t - n(m+1)\Delta) &= \\ &= \frac{\left[ \sin \frac{\pi}{(m+1)\Delta} (t - n(m+1)\Delta) \right]^{m+1}}{\left[ \frac{\pi}{(m+1)\Delta} (t - n(m+1)\Delta) \right]^{m+1-k}} \left[ \frac{(m+1)\Delta}{\pi} \right]^k \frac{P_{mk}(t - n(m+1)\Delta)}{k!}. \end{aligned}$$

После преобразований формула для дисперсии ошибки (3) (усреднение по времени на интервале  $(m+1)\Delta$ ) имеет вид

$$\begin{aligned} \langle \varepsilon^2 \rangle &= \int_{-\infty}^{\infty} d\omega S_f(\omega) \left( 1 - 2 \sum_{k=0}^m \omega^k \tilde{w}_{m(k)}(\omega) + \right. \\ &+ \left. \sum_{n=-\infty}^{\infty} \left( \sum_{k=0}^m \omega^k \tilde{w}_{m(k)} \left( \omega - \frac{2\pi}{(m+1)\Delta} n \right) \right)^2 \right), \end{aligned} \quad (4)$$

где

$$\tilde{w}_{m(k)}(\omega) = \frac{2\pi}{(m+1)\Delta} (-i)^k \tilde{w}_{m(k)}^*(\omega). \quad (5)$$

**Отсчеты сигнала.** При  $m=0$ , т. е. при использовании для реконструкции сигнала с неограниченной спектральной плотностью  $S_f(\omega)$  обычной теоремы отсчетов (см. (1)),

$$f^{(0)}(t) = \sum_{n=-\infty}^{\infty} f^{(0)}(n\Delta) \frac{\sin \frac{\pi}{\Delta}(t-n\Delta)}{\frac{\pi}{\Delta}(t-n\Delta)}.$$

Частотная дисперсия ошибки  $\epsilon^2(\omega) = 2 \times 1 \left[ \left| \omega \right| - \frac{\pi}{\Delta} \right]$ . Здесь и далее  $1[x]$  означает единичную функцию, равную единице при положительном значении аргумента и нулю в противном случае.

Средняя по частоте дисперсия ошибки имеет следующий вид:

$$\langle \epsilon^2 \rangle = \int_{-\infty}^{\infty} d\omega S_f(\omega) \epsilon^2(\omega) = 2 \int_{|\omega| > \pi/\Delta} d\omega S_f(\omega) = 4 \int_{\pi/\Delta}^{\infty} d\omega S_f(\omega). \quad (6)$$

Формула (6) для дисперсии ошибки реконструкции сигнала является эталонной при использовании теоремы отсчетов (1), если число производных  $m \geq 1$ .

**Отсчеты сигнала и его первой производной.** Рассмотрим периодически неравномерную дискретизацию, когда отсчеты образуют равномерную (с периодом  $2\Delta$ ) последовательность, содержащую два отсчета, разделенных интервалом  $\tau$ . Используем далее соотношение Йена [2] для весовых функций двух отсчетов с абсциссами  $t_1$  и  $t_2$ :

$$w_{11}(t) = \frac{\sin \frac{\pi}{2\Delta}(t-t_1) \sin \frac{\pi}{2\Delta}(t-t_2)}{\frac{\pi}{2\Delta}(t-t_1) \sin \frac{\pi}{2\Delta}(t_1-t_2)}, \quad w_{12}(t) = \frac{\sin \frac{\pi}{2\Delta}(t-t_2) \sin \frac{\pi}{2\Delta}(t-t_1)}{\frac{\pi}{2\Delta}(t-t_2) \sin \frac{\pi}{2\Delta}(t_2-t_1)}.$$

Введем новые переменные

$$\frac{1}{2}(f^{(0)}(t_1) + f^{(0)}(t_2)) = f^{(0)}\left(\frac{t_1+t_2}{2}\right), \quad -f^{(0)}(t_1) + f^{(0)}(t_2) = \tau f^{(0)}\left(\frac{t_1+t_2}{2}\right). \quad (7)$$

Решая систему уравнений относительно  $f^{(0)}(t_1)$  и  $f^{(0)}(t_2)$  и используя представление сигнала  $f^{(0)}(t) = f^{(0)}(t_1)w_{11}(t) + f^{(0)}(t_2)w_{12}(t)$ , получим соотношения для весовых функций при новых переменных (7), полагая  $t_1 = -0,5\tau$ , а  $t_2 = 0,5\tau$ :

$$w_{1(0)}(t, \tau) = w_{11}(t, \tau) + w_{12}(t, \tau) = \frac{\sin \frac{\pi}{2\Delta}(t+0,5\tau) \cdot \sin \frac{\pi}{2\Delta}(t-0,5\tau)}{\frac{\pi}{2\Delta}(t+0,5\tau)(t-0,5\tau)} \frac{\tau}{\sin \frac{\pi}{2\Delta}\tau}, \quad (8)$$

$$w_{1(0)}(t, \tau) = \frac{\tau(w_{12}(t) - w_{11}(t))}{2} = \frac{\sin \frac{\pi}{2\Delta}(t + 0,5\tau) \cdot \sin \frac{\pi}{2\Delta}(t - 0,5\tau)}{\frac{\pi}{2\Delta}(t + 0,5\tau)(t - 0,5\tau)} \frac{\tau}{\sin \frac{\pi}{2\Delta}\tau} t. \quad (9)$$

При  $m=1$  и  $\tau \rightarrow 0$  из (1) и (2), (8) и (9) (с учетом  $P_{10}(x) = P_{11}(x) = 1$ ) получаем известную теорему отсчетов [1]:

$$f^{(0)}(t) = \sum_{n=-\infty}^{\infty} \left( f^{(0)}(n2\Delta) \left[ \frac{\sin \frac{\pi}{2\Delta}(t - n2\Delta)}{\frac{\pi}{2\Delta}(t - n2\Delta)} \right]^2 + \frac{f^{(1)}(n2\Delta)}{1!} \left[ \frac{\sin \frac{\pi}{2\Delta}(t - n2\Delta)}{\frac{\pi}{2\Delta}(t - n2\Delta)} \right]^2 (t - n2\Delta) \right).$$

Отметим, что отсчетная функция  $w_{1(0)}(t)$  – четная, а функция  $w_{1(1)}(t)$  – нечетная.

В соответствии с последними замечаниями относительно свойств отсчетных функций при реконструкции сигнала по его значениям и значениям его производной в случае равномерной дискретизации формула для дисперсии ошибки реконструкции сигнала (как функции частоты) согласно (4) и (5) имеет вид

$$\begin{aligned} \varepsilon^2(\omega) = & 1 - 2\tilde{w}_{1(0)}(\omega) - 2\omega\tilde{w}_{1(1)}(\omega) + \sum_{-\infty}^{\infty} \tilde{w}_{1(0)}^2\left(\omega - \frac{\pi}{\Delta}k\right) + \\ & + \omega^2 \sum_{-\infty}^{\infty} \tilde{w}_{1(1)}^2\left(\omega - \frac{\pi}{\Delta}k\right) + 2\omega \sum_{-\infty}^{\infty} \tilde{w}_{1(0)}\left(\omega - \frac{\pi}{\Delta}k\right) \tilde{w}_{1(1)}\left(\omega - \frac{\pi}{\Delta}k\right). \end{aligned}$$

Так как преобразование Фурье

$$\tilde{w}_{1(0)}(\omega) = 1 \left[ \frac{\pi}{\Delta} - |\omega| \right] \left( 1 - \frac{\Delta}{\pi} |\omega| \right), \quad \tilde{w}_{1(1)}(\omega) = \frac{\Delta}{\pi} 1 \left[ \frac{\pi}{\Delta} - |\omega| \right] \text{sign} \omega,$$

то

$$\varepsilon^2(\omega) = 2 \cdot 1 \left[ |\omega| - \frac{\pi}{\Delta} \right] + 2 \sum_{k=2}^{\infty} k(k-1) 1 \left[ \left( \frac{\Delta}{\pi} |\omega| - (k-1) \right) \left( k - \frac{\Delta}{\pi} |\omega| \right) \right]. \quad (10)$$

Среднее по частоте значение дисперсии ошибки

$$\langle \varepsilon^2 \rangle = 4 \int_{\pi/\Delta}^{\infty} d\omega S_f(\omega) + 4 \sum_{k=2}^{\infty} k(k-1) \int_{(k-1)(\pi/\Delta)}^{k(\pi/\Delta)} d\omega S_f(\omega). \quad (11)$$

Из сравнения (11) с (6) следует, что эти дисперсии реконструкции совпадают в случае, когда спектральная плотность сигнала вне полосы частот  $|\omega| \leq \pi/\Delta$  равна нулю. В противном случае дисперсия реконструкции (11) не менее чем

в 3 раза увеличивается. Поэтому более целесообразно восстановление сигнала только по его значениям при удвоенной частоте дискретизации (шаг дискретизации –  $\Delta$ ).

Например, при убывании спектральной плотности  $S_f(\omega)$  со скоростью  $1/\omega^4$ , что соответствует однократно дифференцируемому в среднеквадратичном сигналу, второй член (11) примерно в 3 раза превышает первый, а вся дисперсия ошибки возрастает примерно в 4 раза.

**Отсчеты сигнала, его первой и второй производных.** Рассмотрим равномерную последовательность с периодом  $3\Delta$  совокупностей из трех отсчетов сигнала, разделенных интервалом  $\tau$ . Весовые функции в соответствии с [2] выглядят следующим образом:

$$\begin{aligned}
 w_{21}(t) &= \frac{\sin \frac{\pi}{3\Delta}(t-t_0+\tau) \sin \frac{\pi}{3\Delta}(t-t_0) \cdot \sin \frac{\pi}{3\Delta}(t-t_0-\tau)}{\frac{\pi}{3\Delta}(t-t_0+\tau) \sin \frac{\pi}{3\Delta}(-\tau) \cdot \sin \frac{\pi}{3\Delta}(-2\tau)}; \\
 w_{22}(t) &= \frac{\sin \frac{\pi}{3\Delta}(t-t_0) \sin \frac{\pi}{3\Delta}(t-t_0+\tau) \cdot \sin \frac{\pi}{3\Delta}(t-t_0-\tau)}{\frac{\pi}{3\Delta}(t-t_0) \sin \frac{\pi}{3\Delta}\tau \cdot \sin \frac{\pi}{3\Delta}(-\tau)}; \\
 w_{23}(t) &= \frac{\sin \frac{\pi}{3\Delta}(t-t_0-\tau) \sin \frac{\pi}{3\Delta}(t-t_0+\tau) \cdot \sin \frac{\pi}{3\Delta}(t-t_0)}{\frac{\pi}{3\Delta}(t-t_0-\tau) \sin \frac{\pi}{3\Delta}2\tau \cdot \sin \frac{\pi}{3\Delta}\tau}.
 \end{aligned} \tag{12}$$

В соотношениях для весовых функций (12) величина  $t_0 = n3\Delta$  ( $n = -\infty, \infty$ ).

Введем новые переменные:

$$f^{(0)}(t_0) = (f(t_0 - \tau) + f(t_0) + f(t_0 + \tau))/3 - \text{среднее арифметическое};$$

$$f^{(1)}(t_0) = (f(t_0 + \tau) - f(t_0 - \tau))/2\tau - \text{первую конечную разность};$$

$$f^{(2)}(t_0) = (f(t_0 - \tau) - 2f(t_0) + f(t_0 + \tau))/\tau^2 - \text{вторую конечную разность}.$$

Поступая аналогично рассуждениям, использованным при выводе весовых функций (8) и (9), получим соотношения для весовых функций новых переменных:

$$\begin{aligned}
 w_{2(0)}(t) &= \frac{\sin \frac{\pi}{3\Delta}(t-t_0+\tau) \sin \frac{\pi}{3\Delta}(t-t_0) \cdot \sin \frac{\pi}{3\Delta}(t-t_0-\tau)}{\frac{\pi}{3\Delta}(t-t_0+\tau) \sin \frac{\pi}{3\Delta}\tau \cdot \sin \frac{\pi}{3\Delta}2\tau} + \\
 &+ \frac{\sin \frac{\pi}{3\Delta}(t-t_0+\tau) \sin \frac{\pi}{3\Delta}(t-t_0) \cdot \sin \frac{\pi}{3\Delta}(t-t_0-\tau)}{\frac{\pi}{3\Delta}(t-t_0+\tau) \sin \frac{\pi}{3\Delta}\tau \cdot \sin \frac{\pi}{3\Delta}2\tau} \cdot 2 \left(1 - \cos \frac{\pi}{3\Delta}\tau\right) (t-t_0); \tag{13}
 \end{aligned}$$

$$w_{2(1)}(t) = \frac{\sin \frac{\pi}{3\Delta}(t-t_0+\tau) \sin \frac{\pi}{3\Delta}(t-t_0) \cdot \sin \frac{\pi}{3\Delta}(t-t_0-\tau)}{\frac{\pi}{3\Delta}(t-t_0+\tau) (t-t_0-\tau)} \frac{2\tau^2}{\sin \frac{\pi}{3\Delta}\tau \cdot \sin \frac{\pi}{3\Delta}2\tau};$$

$$w_{2(2)}(t) = \frac{\sin \frac{\pi}{3\Delta}(t-t_0+\tau) \sin \frac{\pi}{3\Delta}(t-t_0) \cdot \sin \frac{\pi}{3\Delta}(t-t_0-\tau) (t-t_0)\tau^2 \left(1 + 2\cos \frac{\pi}{3\Delta}\tau\right)}{\frac{\pi}{3\Delta}(t-t_0+\tau) t(t-t_0-\tau) 3\sin \frac{\pi}{3\Delta}\tau \cdot \sin \frac{\pi}{3\Delta}2\tau}.$$

Поскольку

$$P_{20}(t-n3\Delta) = 1 + \left(\frac{\pi}{3\Delta}\right)^2 \frac{(t-n3\Delta)^2}{2!}, \quad P_{21} = 1, \quad P_{22} = 1,$$

то из выражений для весовых функций (13) следует, что при сближении отсчетов, т. е. при  $\tau \rightarrow 0$ , справедлива формула

$$f^{(0)}(t) = \sum_{n=-\infty}^{\infty} \left( f^{(0)}(n3\Delta) \left[ \frac{\sin \frac{\pi}{3\Delta}(t-n3\Delta)}{\frac{\pi}{3\Delta}(t-n3\Delta)} \right]^3 \left( 1 + \left(\frac{\pi}{3\Delta}\right)^2 \frac{(t-n3\Delta)^2}{2!} \right) + \right.$$

$$\left. + \frac{f^{(1)}(n3\Delta)}{1!} \left[ \frac{\sin \frac{\pi}{3\Delta}(t-n3\Delta)}{\frac{\pi}{3\Delta}(t-n3\Delta)} \right]^3 (t-n3\Delta) + \frac{f^{(2)}(n3\Delta)}{2!} \left[ \frac{\sin \frac{\pi}{3\Delta}(t-n3\Delta)}{\frac{\pi}{3\Delta}(t-n3\Delta)} \right]^3 (t-n3\Delta)^2 \right).$$

Отметим, что соотношения для весовых функций (13) представляют определенный самостоятельный интерес, так как справедливы при отличном от нуля расстоянии  $\tau$  между отсчетами.

Дисперсия реконструкции сигнала в соответствии с (4) и (5) для рассматриваемого случая ( $\tau = 0$ )

$$\langle \epsilon^2(\omega) \rangle = \int_{-\infty}^{\infty} d\omega S_f(\omega) \left( 1 - 2\tilde{w}_{2(0)}(\omega) - 2\tilde{w}_{2(1)}(\omega)\omega - 2\tilde{w}_{2(2)}(\omega)\omega^2 + \right.$$

$$\left. + \sum_{-\infty}^{\infty} \tilde{w}_{2(0)}^2\left(\omega - \frac{2\pi}{3\Delta}k\right) + \omega^2 \sum_{-\infty}^{\infty} \tilde{w}_{2(1)}^2\left(\omega - \frac{2\pi}{3\Delta}k\right) + \omega^4 \sum_{-\infty}^{\infty} \tilde{w}_{2(2)}^2\left(\omega - \frac{2\pi}{3\Delta}k\right) + \right.$$

$$\left. + 2\omega \sum_{-\infty}^{\infty} \tilde{w}_{2(0)}\left(\omega - \frac{2\pi}{3\Delta}k\right) \tilde{w}_{2(1)}\left(\omega - \frac{2\pi}{3\Delta}k\right) + 2\omega^2 \sum_{-\infty}^{\infty} \tilde{w}_{2(0)}^2\left(\omega - \frac{2\pi}{3\Delta}k\right) \tilde{w}_{2(2)}^2\left(\omega - \frac{2\pi}{3\Delta}k\right) + \right.$$

$$+ 2\omega^3 \sum_{-\infty}^{\infty} \tilde{w}_{2(1)}\left(\omega - \frac{2\pi}{3\Delta} k\right) \tilde{w}_{2(2)}\left(\omega - \frac{2\pi}{3\Delta} k\right). \quad (14)$$

В (14) весовые функции при отсчетах сигнала и его второй производной – четные функции, при отсчетах первой производной – нечетная.

Преобразование Фурье от отсчетных функций имеет следующий вид:

$$\begin{aligned} \tilde{w}_{2(0)}(\omega) = & \frac{1}{4} \left\{ 1 \left[ \frac{\pi}{3\Delta} - |\omega| \right] \left( 4 - \left( \frac{\omega 3\Delta}{\pi} \right)^2 \right) - \frac{1}{2} \cdot 1 \left[ \frac{\pi}{3\Delta} - \left| \omega + \frac{2\pi}{3\Delta} \right| \right] \left( 1 - \left( \frac{\omega 3\Delta}{\pi} + 3 \right)^2 \right) - \right. \\ & \left. - \frac{1}{2} \cdot 1 \left[ \frac{\pi}{3\Delta} - \left| \omega - \frac{2\pi}{3\Delta} \right| \right] \left( 1 - \left( \frac{\omega 3\Delta}{\pi} - 3 \right)^2 \right) \right\}; \end{aligned}$$

$$\begin{aligned} \tilde{w}_{2(1)}(\omega) = & \frac{3\Delta}{\pi} \left\{ 1 \left[ \frac{\pi}{3\Delta} - |\omega| \right] \frac{\omega 3\Delta}{\pi} - \frac{1}{2} \cdot 1 \left[ \frac{\pi}{3\Delta} - \left| \omega + \frac{2\pi}{3\Delta} \right| \right] \left( \frac{\omega 3\Delta}{\pi} + 3 \right) - \right. \\ & \left. - \frac{1}{2} \cdot 1 \left[ \frac{\pi}{3\Delta} - \left| \omega - \frac{2\pi}{3\Delta} \right| \right] \left( \frac{\omega 3\Delta}{\pi} - 3 \right) \right\}; \end{aligned} \quad (15)$$

$$\tilde{w}_{2(2)}(\omega) = \left( \frac{3\Delta}{\pi} \right)^2 \frac{1}{2} \left\{ -1 \left[ \frac{\pi}{3\Delta} - |\omega| \right] + \frac{1}{2} \cdot 1 \left[ \frac{\pi}{3\Delta} - \left| \omega + \frac{2\pi}{3\Delta} \right| \right] + \frac{1}{2} \cdot 1 \left[ \frac{\pi}{3\Delta} - \left| \omega - \frac{2\pi}{3\Delta} \right| \right] \right\}.$$

Вычисления с учетом (14) и (15) дают следующий результат для дисперсии как функции частоты и средней по частоте дисперсии ошибки реконструкции сигнала по его равномерным отсчетам и равномерным отсчетам в те же моменты времени первой и второй производных:

$$\begin{aligned} \epsilon^2(\omega) = & 2 \cdot 1 \left[ \left| \omega - \frac{\pi}{\Delta} \right| \right] + \frac{3}{2} \sum_{k=2}^{\infty} k^2 (k^2 - 1) 1 \left[ \left( \frac{3\Delta}{2\pi} \left| \omega - \left( k - \frac{1}{2} \right) \right| \right) \left( \left( k + \frac{1}{2} \right) - \frac{3\Delta}{2\pi} \left| \omega \right| \right) \right]; \end{aligned} \quad (16)$$

$$\langle \epsilon^2 \rangle = 4 \int_{\pi/\Delta}^{\infty} d\omega S_f(\omega) + \sum_{k=2}^{\infty} 3k^2 (k^2 - 1) \int_{k(2\pi/3\Delta) - (\pi/3\Delta)}^{k(2\pi/3\Delta) + (\pi/3\Delta)} d\omega S_f(\omega).$$

Из этой формулы следует, что дисперсия ошибки реконструкции при восстановлении сигнала по значениям сигнала, первой и второй производных в 10 раз больше, чем в (6).

**Оптимальная фильтрация.** Соотношение (5) для дисперсии ошибки можно преобразовать к виду

$$\langle \epsilon^2 \rangle = \int_{-\infty}^{\infty} d\omega \left[ S_f(\omega) \left( 1 - 2 \sum_{k=0}^m \omega^k \tilde{w}_{m(k)}(\omega) \right) + \right.$$

Если предположить далее, что спектральная плотность сигнала  $S_f(\omega)$  априори известна, то величину (17) можно минимизировать, надлежащим образом строя функции  $\tilde{w}_{m(k)}(\omega)$ . При этом

$$\tilde{w}_{m(k)}^0(\omega) = A_k(\omega)/A(\omega),$$

где  $A(\omega)$  – определитель матрицы  $(m+1) \times (m+1)$ , элемент которого

$$a_{ij}(\omega) = \sum_{n=-\infty}^{\infty} \left( \omega - \frac{2\pi}{(m+1)\Delta} n \right)^{i+j} S_f \left( \omega - \frac{2\pi}{(m+1)\Delta} n \right)$$

( $i$  – строка,  $j$  – столбец). Определитель  $A_k(\omega)$  отличается от определителя  $A(\omega)$  заменой  $k$ -го столбца столбцом  $\phi$ , элементы которого  $\phi_i = \omega^i S_f(\omega)$  ( $i=0, m$ ).

При этом минимальная дисперсия ошибки

$$\langle \varepsilon^2 \rangle_0 = \int_{-\infty}^{\infty} d\omega S_f(\omega) \left[ 1 - \frac{\sum_{k=0}^m \omega^k A_k(\omega)}{A(\omega)} \right].$$

Соотношение для дисперсии ошибки можно преобразовать с учетом выражения

$$1 - \frac{\sum_{k=0}^m \omega^k A_k(\omega)}{A(\omega)} = \frac{B^*(\omega)}{B(\omega)},$$

где  $B(\omega)$  – определитель, в котором элемент

$$b_{ij}(\omega) = \sum_{n=-\infty}^{\infty} \left( -\frac{2\pi}{(m+1)\Delta} n \right)^{i+j} S_f \left( \omega - \frac{2\pi}{(m+1)\Delta} n \right),$$

а определитель  $B^*(\omega)$  отличается от определителя  $B(\omega)$  только тем, что его элемент

$$b_{00}(\omega) = \sum_{\substack{n=-\infty \\ n \neq 0}}^{n=\infty} S_f \left( \omega - \frac{2\pi}{(m+1)\Delta} n \right)$$

не содержит слагаемое при индексе суммирования  $n$ , равном нулю.



Для случая  $m=0$  дисперсия ошибки имеет вид

$$\langle \varepsilon^2 \rangle_0 = \int_{-\infty}^{\infty} d\omega S_f(\omega) \left[ 1 - \frac{S_f(\omega)}{\sum_{-\infty}^{\infty} S_f\left(\omega - \frac{2\pi}{\Delta} n\right)} \right]. \quad (18)$$

Учитывая периодичность суммы в знаменателе и четность спектральной плотности  $S_f(\omega)$ , эта формула преобразуется к следующему виду:

$$\langle \varepsilon^2 \rangle_0 = 4 \int_{\pi/\Delta}^{\infty} d\omega S_f(\omega) - 4 \int_{\pi/\Delta}^{\infty} d\omega \frac{S_f^2(\omega)}{\sum_{-\infty}^{\infty} S_f\left(\omega - \frac{2\pi}{\Delta} n\right)}. \quad (19)$$

Таким образом при оптимальной фильтрации для рассматриваемого случая ( $m=0$ ) дисперсия ошибки уменьшается по сравнению с (6) на величину второго слагаемого (19). При оптимальной фильтрации дисперсия ошибки (6) не может быть уменьшена более чем в 2 раза, что соответствует применению к сигналу аналогового предфильтра нижних частот с частотой среза  $\pi/\Delta$ . Примером функции  $S_f(\omega)$ , при которой дисперсия ошибки реконструкции сигнала уменьшается ровно в 2 раза по сравнению с (6), является плотность

$$S_f(\omega) = \frac{\Delta}{2\pi} 1 \left[ \frac{\pi}{\Delta} - \varepsilon - |\omega| \right] + \frac{\Delta}{4\pi} 1 \left[ \left( |\omega| - \left( \frac{\pi}{\Delta} - \varepsilon \right) \right) \left( \frac{\pi}{\Delta} + \varepsilon - |\omega| \right) \right].$$

Для спектральной плотности

$$S_f(\omega) = \sigma_f^2 \frac{\alpha}{\pi(\omega^2 + \alpha^2)} \quad (20)$$

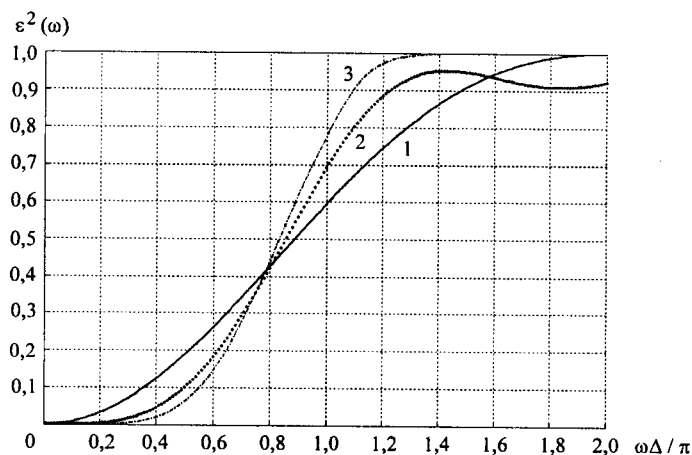
выигрыш в дисперсии приведен в [3], а также на рисунке (кривая 1).

Для случая  $m=1$  (отсчеты сигнала и производной) частотная дисперсия ошибки преобразуется к следующему виду:

$$\varepsilon^2(\omega) = \frac{\sum_{\substack{n=-\infty \\ n \neq 0}}^{\infty} S_f\left(\omega - \frac{\pi}{\Delta} n\right) \sum_{n=-\infty}^{\infty} n^2 S_f\left(\omega - \frac{\pi}{\Delta} n\right) - \left( \sum_{n=-\infty}^{\infty} n S_f\left(\omega - \frac{\pi}{\Delta} n\right) \right)^2}{\sum_{n=-\infty}^{\infty} S_f\left(\omega - \frac{\pi}{\Delta} n\right) \sum_{n=-\infty}^{\infty} n^2 S_f\left(\omega - \frac{\pi}{\Delta} n\right) - \left( \sum_{n=-\infty}^{\infty} n S_f\left(\omega - \frac{\pi}{\Delta} n\right) \right)^2}.$$

График этой функции представлен на рисунке (кривая 2) для однократно дифференцируемого сигнала со спектральной плотностью

$$S_f(\omega) = \sigma_f^2 \frac{2\alpha^3}{\pi(\omega^2 + \alpha^2)^2}. \quad (21)$$



Для случая  $m=2$  (отсчеты сигнала, первой и второй производных) график функции  $\varepsilon^2(\omega)$  представлен на рисунке (кривая 3) при спектральной плотности сигнала

$$S_f(\omega) = \sigma_f^2 \frac{8\alpha^5}{3\pi(\omega^2 + \alpha^2)^3}. \quad (22)$$

Из характера поведения и численных значений этих зависимостей следует, что при  $|\omega| > \pi/\Delta$  величина дисперсии ошибки примерно равна половине дисперсии, определяемой соотношением (6). Общая дисперсия ошибки в соответствии с расчетами незначительно отличается от значений, определяемых соотношениями (11) и (16), несмотря на отличие функции  $\varepsilon^2(\omega)$  (см. рисунок) и соотношений (10) и (16).

**Заключение.** Исследования показали, что при одном и том же числе данных в единицу времени для сигналов с неограниченной спектральной плотностью реконструкция сигнала только по его отсчетам оказывается существенно предпочтительнее реконструкции с дополнительным использованием отсчетов его производных. Предпочтение резко возрастает с увеличением числа привлекаемых для реконструкции сигнала производных. При оптимальной интерполяции выигрыш оказывается несущественным.

#### СПИСОК ЛИТЕРАТУРЫ

1. Хургин Я. И., Яковлев В. П. Финитные функции в физике и технике. М.: Наука, 1971.
2. Yen J. L. On nonuniform sampling of bandwidth-limited signals // Trans. IRE. 1956. СТ-3, N 4. P. 251.
3. Ефимов В. М., Резник А. Л., Торгов А. В. Сравнительная оценка характеристик полиномиальных интерполяторов при равномерной дискретизации сигнала // Автоматика. 2001. № 6. С. 24.